

threshold image hiding scheme for sharing a secret color image," in *Communication Technology Proceedings, 2003. ICCT 2003. International Conference on*, 2003, pp. 196-202 vol.1.

3. L. Hao and Y. Faxin, "Data Hiding in Image Size Invariant Visual Cryptography," in *Innovative Computing Information and Control, 2008. ICICIC '08. 3rd International Conference on*, 2008, pp. 25-25.

4. F. Ming Sun and O. C. Au, "Data hiding in halftone images by conjugate error diffusion," in *Circuits and Systems, 2003. ISCAS '03. Proceedings of the 2003 International Symposium on*, 2003, pp. II-920-II-923 vol.2.

5. P. R. Busse. (2003, *Visual Encryptor*. Available: [http://compsci.snc.edu/cs460\\_archive/2003/busspr/VisualEncryptor.html](http://compsci.snc.edu/cs460_archive/2003/busspr/VisualEncryptor.html)

6. J. Cai, "A Short Survey on Visual Cryptography Schemes." 2004.

**Yusupov Sobirjon Yusupjanovich**

TATU, Axborot xavfsizligini ta'minlash kafedrasit.f.n.,

УДК 339.543

**Маликова Н.Т, Махматқулов Ғ.Х.**

## МУРАККАБ ТУЗИЛМАЛИ ТИЗИМЛАР ЁХШАШЛИГИНИ ТАҲЛИЛЛАШНИНГ ГРАФ-МОДЕЛИ

Ушбу мақолада мураккаб тузилмали тизимлар ёхшашлигини аниқлаш имкониятини берувчи ва мураккабликка фрагментларни жойлаштирувчи граф-моделли келтирилган. Тузилмавий ёхшашликнинг кенг спектрли янги муносабатларини шакллантириш ва тадқиқ этиш имконини берувчи граф-моделларни стратификация қилиш тизими кўриб чиқилган. Таклиф этилаётган моделлар тизимларни ёхшашлигини таҳлил қилишда ва тизимларнинг граф моделларидаги муносабатларнинг янги турдаги ёхшашликларни ажратишда қуйи тузилмавий ёндашувни ривожлантириш имконини яратади.

**Калит сўзлар:** Мураккаб тузилмали тизимлар, модел, граф, фрагмент, матрица, мультиграфлар, семантик тармоқлар.

**Кириш.** Тизимларнинг ёхшашлик концепцияси тизимларнинг мураккаблик концепцияси билан узвий боғлиқ бўлиб, умумий тизимлар назарияси ва айниқса сунъий интеллект тизимларида алоҳида ўрин касб этади. Тизимларнинг тузилмавий ёхшашлиги маълумотларни интеллектуал таҳлил қилиш, ҳаққоний фикр юритишларни амалга ошириш, тасвирларни аниқлаш, табиий тиллардаги айтилган сўзларни қайта ишлаш ва сунъий интеллектнинг бошқа соҳаларида асосий тушунчаларидан бири ҳисобланади. Бу эса тузилмавий рақамли бўлмаган объектларнинг (графлар, мультиграфлар, семантик тармоқлар ва бошқаларнинг) ёхшашлигини аниқлаш усул ва дастурий воситаларни ишлаб чиқиш зарурияти мавжудлигини ва долзарблигини аниқлаб беради.

### Тизимларнинг мураккаблиги ва ёхшашлигини таҳлил граф-моделлари

Қуйида графларда фрагментларнинг жойлашувини тасвирловчи тузилмавий ва рақамли *инвариантларни* куриш ёндашуви таклиф қилинган. Аниқ инвариантларни куриш стратификациясига тузилмавий дескрипторларнинг (ТД) кенгаювчи базисларини қўллаш орқали эришилади ва *тизимлардаги граф моделларнинг эквивалентлик ва толерантлик муносабатлари стратификацияси*

$$GM \cap (G) = w_e' F^l w^l L \cap F^l w^l R(G) = (VL \cup VR, sr, E, WV L, w_L, WVR, w_R, WE, w_e), \quad (1)$$

бу ерда  $VL$  - чап улушнинг ва  $|VL| = |F^l| = k$ ; нинг учлари тўплами;  $VR$  - ўнг улуш ва  $|VR| = |F^l| = k$ ; учлари тўплами;  $sr = \cap - WV L \times WVR$ ; га

dotsent.

Tel.: +998 (71) 238-65-09

El. pochta: [s.yusupov@tuit.uz](mailto:s.yusupov@tuit.uz)

**Amanova Madina Azizovna**

TATU magistranti.

Tel.: +998 (91) 438-44-60

El. pochta: [madinaprogramer95@gmail.com](mailto:madinaprogramer95@gmail.com)

**S.Yu.Yusupov, M.A.Amanova**

### Steganography and visual cryptography in computer forensics.

In this article, the definitions of steganography and visual cryptography have been discussed along with several studies done on various algorithms of each type.

**Keywords:** Visual Cryptography, Steganography, Computer Forensics, Data hiding, Secrecy, Novel Visual Cryptographic and Steganographic methods.

Tel.: +998 (91) 438-44-60

E- mail: [madinaprogramer95@gmail.com](mailto:madinaprogramer95@gmail.com)

*тизимини* қуришга олиб келади.

Агар  $F^i(G) = \{F^{i1}, F^{i2}, \dots, F^{it}, \dots, F^{it'}\}$  -  $G = (V, E)$  графининг белгиланган фрагментлар тўплами бўлса, бу ерда  $F^{it} = \{f_1^{it}, f_2^{i2}, \dots, f_j^{it}, \dots, f_n^{it}\}$  -  $t$  турдаги фрагментлар тўплами,  $j$  - фрагмент рақами,  $it$  -  $t$  турдаги фрагментлар сони. У ҳолда  $SK = (G, F^l, sr)$  турдаги учлик каби  $f_j^l \in F^l(G)$  фрагментлар жойлашувини ифодаловчи муҳит аниқлаб олинади, бу ерда  $sr - F^l \times F^l$  тўпламидаги муносабатлар, яъни  $\langle f_i^{lm}, f_j^{ln} \rangle$  ва  $f_i^{lm}, f_j^{ln} \in F^l$  жуфт элементлардаги  $f_i^{lm}(sr)f_j^{ln}$  бинар муносабатлар. Агар  $sr - \cap$  учлари билан белгиланган изоморф кесишмаларини ўзида акс этган муносабат" бўлса, у ҳолда  $G = (V, E)$  графининг ҳосил бўлган граф-моделли (ХБГМ) деб қуйидаги кўринишдаги икки томонлама графининг учи ва қирраси тушунилади:

белгиланган муносабат;  $E \subseteq (VL \times VR)$  - қирраларнинг тўплами;  $v \in VL$  ва  $u \in VR$  учлари  $w_L(v)(sr)w_R(u)$ , муносабатлари ҳаққоний бўлганда

кирра билан боғланади, бу ерда  $w_L(v) \in WV_L$ ,  $w_R(u) \in WVR$ ;  $WV_L - VL$  учлари ўлчамларининг тўплами ( $F^l$  нинг фрагменти ҳисобланган графнинг тузилмавий ўлчамлари кўриб чиқилади);  $w_L$  - учнинг чап улуши учун ўлчам функцияси,  $w_L: VL \rightarrow WV_L$ ;  $WVR - VR$  учлари ўлчамларининг тўплами ( $F^l$  нинг фрагменти ҳисобланган графнинг тузилмавий ўлчамлари кўриб чиқилади);  $w_R$  - учнинг чап улуши учун ўлчам функцияси,  $w_R: VR \rightarrow WVR$ ;  $WE - E$  кирралари ўлчамларининг тўплами (белгиланган фрагментларнинг максимал изоморф кесишган тузилмавий ўлчамлари кўриб чиқилади);  $W_e - E$ ,  $W_e: E \rightarrow WE$ , лардан таркиб топган учлар учун оғирлик функцияси, бу ерда ҳар бир  $\{v, u\} \in E$  учлар учун  $w_L(v) \cap w_R(u)$

$$[w_e^{[l]}]L[w_L^{[l]}](sr)R[w_R^{[l]}] = [w^{[l]}]L[w^{[l]}](sr)R[w^{[l]}],$$

бу ерда  $L - WV_L$  тўплами англатади;  $R - WVR$ , тўплами;  $SR - WV_L \times WVR$ ; га тегишли муносабат;  $W_e -$  ҲБГМ граф-оғирлик учларининг мавжудлиги;  $w_L -$  ҲБГМ чап улушининг граф-оғирлик учи;  $w_R -$  ҲБГМ ўнг улушининг граф-оғирлик учи;  $l -$  граф-оғирликдаги белгиланган учларнинг мавжудлиги. Бир қатор параметрларнинг йўқлигида қавс билан  $[ ]$  белгиланган, ҲБГМдан ҳосил бўлган турли синфдаги граф-моделлар пайдо бўлади.

Энди фрагментларнинг кесишма операциялари ўрнига фрагментларни изоморф жойлаштириш операцияси қўлланилувчи ҲБГМ синфларини кўриб чиқамиз. Агар айнан бир хил  $t$  турдаги белгиланган фрагментларга таалукли  $F^l w_L^t \subseteq F^l w_R^t(G)$  ҲБГМ боғлиқлиги матрицаси устуни бўлса, ва битта устуни элементлар қиймати билан элементлар қиймати йингидисига тенг бўлган ўзгартирилаётган устун билан

$$WF(G/B) = (w_1 b_1, w_2 b_2, \dots, w_i b_i, \dots, w_k b_k),$$

бу ерда  $b_i$  базис фрагменти;  $w_i - G$  графга  $b_i$  фрагментининг канон изоморф иловалари сони;  $k -$  графнинг мураккаблиги ифодаланувчи  $B$  базис фрагментлари сони. Шубҳасиз,  $w(K_1) = p$ ,  $w(K_2) = q$ .  $ISC(K_1) = 1$ ,  $ISC(K_2) = 3$  қабул

$$ISC(G/B) = w_1 \times ISC(b_1) + w_2 \times ISC(b_2) + \dots + w_i \times ISC(b_i) + \dots + w_k \times ISC(b_k) \quad (2)$$

Графлар учун (1-расм) қуйидаги ифода ҳосил бўлади:

$$ISC(G_1/B) = ISC(G_2/B) = 281,$$

бу ерда  $B = \langle P_0, P_1, P_2, C_3 \rangle$ .

Таъкидлаш жоиз, турли  $B \subseteq F$  базисини танлаш орқали (бу ерда  $F - G$  графининг тегишли фрагментлар тўплами) ушбу базисларнинг турли иловаларда аҳамиятлилигига қараб турли мураккаблик индексларни қуриш ва графнинг умумий мураккаблигига фрагментларнинг таъсирини ҳисоблаш мумкин.

Агар  $B = \langle b_1, b_2, \dots, b_j, \dots, b_{k1} \rangle$  ТД базиси бўлса,  $w_{ij}$

кўринишдаги барча турдаги идоралараро интеграцион платформа (ИИП) тўпламлари таққосланади. Агар  $\max(f_i^{lm} \cap f_j^{ln})$  бўлса,  $f_i^{lm}$  ва  $f_j^{ln}$  фрагментларининг изоморф кесишмалари учларининг максимал сонини англатади.  $w_e^l F^l w_L^l \cap F^l w_R^l(G)$  граф-моделининг учлари боғлиқлиги матрицаси деб  $M - GM(G) = \|mcf_{ij}\|$ ;  $i = 1, 2, \dots, k$ ;  $j = 1, 2, \dots, k$ ; матрицаси тушунилади; бу ерда  $vcf_{ij}^l$  - агар  $f_i^{lm} \cap f_j^{ln} \neq \emptyset$  ва 0, ёки  $f_i^{lm} \cap f_j^{ln} = \emptyset$  бўлганда  $f_i^{lm} \cap f_j^{ln}$  учларнинг сони жиҳатидан максимал изоморф кесишма ҳисобланади.

ҲБГМни таърифлашнинг умумлашган тизимини киритамиз:

алмаштирилса, натижада  $(F^l w_L^l \subseteq F(G)) = (F^l w^l \subseteq F(G))$  таянч граф-модел боғлиқлиги матрицаси ҳосил бўлади. Бу ерда  $F(G) -$  СД базиси сифатида чиқаётган  $G$  графи фрагментлари тўпламини англатади. ТД базисдаги элементлар мураккаблик индекси қиймати бўйича тартибга келтирилган.

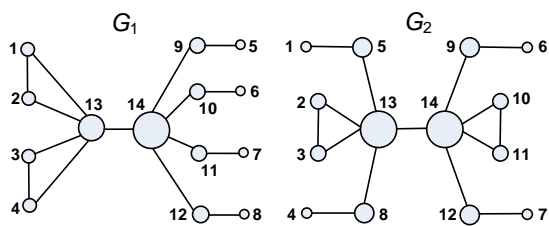
Таянч граф-моделларнинг ўзига ҳос хусусияти графда фрагментларни жойлаштирувини ифодалаш учун кенгаювчи тузилмавий дескрипторлар базисини қўллаш зарурияти мавжудлигидан иборат. Бундай ёндашув таҳлил қилинувчи тизимларнинг граф моделлари оиласига мослаштирилган графларнинг мураккаблиги ва ўхшашлигини таҳлил қилиш вазифаларини ечиш учун самарали (аниқ ва тахминий) алгоритмларни ишлаб чиқишга амалий йўналтирилган ҳисобланади.

Агар  $G$  граф учун  $B$  базисда унинг тўлиқ тузилмавий спектри (ТТС) қурилган бўлса:

қилинади. Барча  $f_i$  фрагменти учун унинг ТТСини,  $G$  фрагментнинг барча фрагментлари учун ТТСини аниқлаш мумкин бўлганлиги сабабли, рекурсив усуда  $B$  ТД базисдаги  $G$  графнинг ТТСини ҳисоблаш мумкин.

орқали  $G$  системаси  $b_j$  изоморф бўлган  $B$  фрагментга  $f_i \in F$  фрагментларини қайта қуришлар сонини ифодалаш мумкин.  $G$  графдаги  $b_j$  гача учлар ҳисобини юритмаган ҳолда  $f_i^l$  изоморф иловалар (қайта қуришлар)  $EM(F^l - B(G)) = \|w_{ij}\|$   $i = 1, 2, \dots, k$ ;  $j = 1, 2, \dots, k1$  кўринишдаги матрицага айтилади.

$P_0^l \subseteq P_{0-1} \cup C(G)$  кўринишдаги таянч граф-моделларнинг  $EM(P_0^l - P_{0-1} \cup C(G))$  қайта қуриш матрицаларига мисол (1-расм) 1-жадвалда келтирилган.



1-расм. Тизим мураккаблигини граф учи иловаларини ажратиш орқали таҳлил қилиш диаграммаси

$P'_{0-1} \subseteq P(G)$  граф-моделли матричасининг  $W_{ij}$  элементи қиймати  $B = \langle P_0, P_1, P_2, C_3 \rangle$  базиси элементига изоморф бўлган графнинг  $P'_0$  учидан граф остигача бўлган қайта қуришлар сонига тенг.

1-жадвал.

Фрагментларни қайта қуришнинг кенгайтирилган матричаси

| V          | P | P | P | C | V          | P | P | P | C |
|------------|---|---|---|---|------------|---|---|---|---|
| 5,6,7,8    | 0 | 1 | 2 | 3 | 5,6,7,8    | 0 | 1 | 2 | 3 |
| 9,10,11,12 | 1 | 1 | 1 | 0 | 9,10,11,12 | 1 | 1 | 1 | 0 |
| 14         | 1 | 5 | 1 | 0 | 1,2,3,4    | 1 | 2 | 3 | 1 |
| 1,2,3,4    | 1 | 2 | 3 | 1 | 13,14      | 1 | 5 | 1 | 1 |
| 13         | 1 | 5 | 1 | 2 |            |   |   |   |   |

**Фрагментларни қайта қуришнинг кенгайтирилган матричаси**

Куйида фрагментларни қайта қуриш кенгайтирилган матричаси келтирилган бўлиб, унинг асосида графларнинг мураккаблиги ва графларнинг умумий мураккаблик соҳасига фрагментларни илова қилиш ҳолатини инобатга олган ҳолда графларнинг ўхшашлигини иерархик таҳлил қилиш усули таклиф қилинган. Агар,  $Aut(G)$  -  $G$  граф учининг автоморфизм гуруҳи,  $Aut(f^t)$  эса -  $G$  графда жойлашган  $f^t$  фрагменти симметриясини ифодаловчи  $f^t$  фрагментининг автоморфизм гуруҳи бўлса, у ҳолда  $|Aut(f^t)|$  орқали  $|Aut(f^t)|$  гуруҳининг тартиб рақами белгиланади. Мисол тариқасида  $f^t$  фрагментининг 3 ( $C_3$ ) узунликдаги даврини кўриб чиқиш мумкин, бу ерда  $G_2$  графи учун (1-расм)  $Aut(f^t)$  гуруҳи иккиавтоморфизмдан иборат:

$$g_1 = \left( \begin{matrix} (1,2,13), (3,4,14) \\ (1,2,13), (3,4,14) \end{matrix} \right) = \begin{pmatrix} 1,2 \\ 1,2 \end{pmatrix};$$

$$g_2 = \left( \begin{matrix} (1,2,13), (3,4,14) \\ (3,4,14), (1,2,13) \end{matrix} \right) = \begin{pmatrix} 1,2 \\ 2,1 \end{pmatrix}.$$

Кўриб чиқилган мисол учун  $|Aut(f^t)| = |Aut(f^{C_3})| = 2 \cdot EM(F^t - B(G))$  матричасига тўртта янги сатр қўшамиз:

$$Slw(F^l / B) = \langle Slw(F^l / b_1), Slw(F^l / b_2), \dots, Slw(F^l / b_i), \dots, Slw(F^l / b_{k1}) \rangle$$

бу ерда  $Slw(F^l / b_j) = \sum_{f^t \in F^l} \sum_{i=1}^r w_{ij}$

$$Sw(F^l / B) = \langle Sw(F^l / b_1), Sw(F^l / b_2), \dots, Sw(F^l / b_j), \dots, Sw(F^l / b_{k1}) \rangle$$

бу ерда

$$Sw(F^l / b_j) = \sum_{i=1}^T \frac{f^t(b_j)}{|Aut(f^t)|} = \sum_{i=1}^T w(f^t / b_j).$$

$$Fw(G / B) = \langle w_1(b_1), w_2(b_2), \dots, w_j(b_j), \dots, w_{kj}(b_{kj}) \rangle$$

$$V\_ISC(G / B) = \langle w_1(b_1) \times ISC(b_1), \dots, w_j(b_j) \times ISC(b_j), \dots, w_{k1}(b_{k1}) \times ISC(b_{k1}) \rangle$$

Лемманинг  $G$  графдаги  $b_j \in B$  канон изоморф иловаларининг  $w(b_j)$  сони ни ҳисобга олиб,  $EM(F^l - B(G))$  қайта тикланиш сифатига эга ва куйидаги формула орқали аниқланади.

$$w(b_j) = \frac{Slw(F^l / b_j)}{Sw(F^l / b_j)} = \frac{\sum_{f^t \in F^l} \sum_{i=1}^r w_{ij}}{\sum_{i=1}^T w(f^t / b_j)}$$

Агар  $|E(b_j)| \leq |E(G)|$  бўлса,

$EM * (F^l - B(G))$  фрагментларининг кенгайтирилган қайта қуриш матричасини қуриш мумкин бўлади.

**Мураккаб граф фрагментларини илова қилиш матричаси**

$EM * (F^l - B(G))$  асосида

$$MIR(F^l - B(G)) = \left\| irc(f_i^t / b_j) \right\| \quad i = 1, 2, \dots, k + 4$$

граф  $B$  нинг ТД базисига нисбатан графда фрагментларнинг жойлашувини ифодаловчи мураккаблигига нисбатан фрагментларнинг ҳиссасини ифодаловчи матричасини қурамиз. Ушбу матрица графларнинг мураккаблигини иерархик таҳлил қилиш имконини беради ва унинг асосида графда фрагментларнинг жойлашув ўхшашлигини ҳамда фрагментлар жойлашуви ўхшашлигини инобатга олган ҳолда графларнинг ўхшашлигини таҳлил қилиш имконини беради.

Матрица элементларининг қиймати куйидаги формула орқали ҳисобланади

$$irc(f_i^t / b_j) = \frac{w_{ij}}{Sw(F^l / b_j)} \times \frac{ISC(b_j)}{ISC(G / B)}$$

У ҳолда  $irc(f_i^t / B)$  куйидаги формула орқали

хисобланганда

$$irc(f_i^t / B) = \frac{1}{ISC(G/B)} \times \sum_{j=1}^{k1} w_{ij} \frac{ISC(b_j)}{Sw(F^t / b_j)}$$

$B$  ТД базисини қўллаганда умумий мураккабликка нисбий ҳисса  $f_i^t$  ни аниқлайди.

Бир хил қийматли ҳиссаларга эга  $t$  турдаги  $f_i^t$  фрагментлари,  $t$  турдаги жойлашган фрагментларга эквивалент  $f^t(c)$  синфларини ташкил этади, базиснинг старли тўлиқлигида эса  $irc(f^t(c)/B)$  умумий ҳиссага эга  $Aut(f^t)$  гуруҳи орбитасини ташкил этади. Битта  $t$  турдаги барча фрагментлар бўйича нисбий ҳиссалар суммаси  $irc(f^t/B)$  ҳиссасини ташкил этади. Шу

аснода урта устун билан  $irc(f^t(c, n)/B)$  қиймати билан  $(k1 + 1)$ ; (2)  $irc(f^t(c)/B)$  қиймати билан  $(k1 + 2)$ ;  $irc(f^t/B)$  қиймати билан (3)  $(k1 + 3)$  тўлдирилган фрагментларни қайта қуриш кенгайтирилган матрицаси фрагментларнинг жойлашувини, фрагментларни эквивалент жойлашув синфларини ва мураккаблигини инobatга олган ҳолда  $G$  даги ҳар бир фрагментнинг жойлашувини ифодалайди ва қуйидаги кўринишни  $MIRC(F^t - B(G))$  олади.  $MIRC(F^t - B(G))$  асосида  $G$  мураккабликка фрагментларни абсолют ҳиссаси матрицасини кураимиз, яъни  $ISC(G/B)$  мураккаблик индексини қўллаган ҳолда  $MIRC(F^t - B(G))$  матрицасини кураимиз.

**2-жадвал.**

Мураккаб граф учларининг нисбий ҳиссаси матрицаси

| $G_1$     | $P_0$ | $P_1$ | $P_2$ | $C_3$ | $irc(f^t(c, n)/B)$ | $irc(f^t(c))$ | $G_2$     | $P_0$ | $P_1$ | $P_2$ | $C_3$ | $irc(f^t(c, n)/B)$ | $irc(f^t(c))$ |
|-----------|-------|-------|-------|-------|--------------------|---------------|-----------|-------|-------|-------|-------|--------------------|---------------|
| 5         | 0,004 | 0,005 | 0,011 | 0     | 0,020              | 0,078         | 5         | 0,004 | 0,005 | 0,011 | 0     | 0,020              | 0,078         |
| 6         | 0,004 | 0,005 | 0,011 | 0     | 0,020              |               | 6         | 0,004 | 0,005 | 0,011 | 0     | 0,020              |               |
| 7         | 0,004 | 0,005 | 0,011 | 0     | 0,020              |               | 7         | 0,004 | 0,005 | 0,011 | 0     | 0,020              |               |
| 8         | 0,004 | 0,005 | 0,011 | 0     | 0,020              |               | 8         | 0,004 | 0,005 | 0,011 | 0     | 0,020              |               |
| 9         | 0,004 | 0,011 | 0,053 | 0     | 0,068              | 0,270         | 9         | 0,004 | 0,011 | 0,053 | 0     | 0,068              | 0,270         |
| 10        | 0,004 | 0,011 | 0,053 | 0     | 0,068              |               | 10        | 0,004 | 0,011 | 0,053 | 0     | 0,068              |               |
| 11        | 0,004 | 0,011 | 0,053 | 0     | 0,068              |               | 11        | 0,004 | 0,011 | 0,053 | 0     | 0,068              |               |
| 12        | 0,004 | 0,011 | 0,053 | 0     | 0,068              |               | 12        | 0,004 | 0,011 | 0,053 | 0     | 0,068              |               |
| 14        | 0,004 | 0,027 | 0,192 | 0     | 0,222              | 0,222         | 1         | 0,004 | 0,011 | 0,032 | 0,014 | 0,060              | 0,242         |
| 4         | 0,004 | 0,011 | 0,032 | 0,014 | 0,060              | 0,242         | 2         | 0,004 | 0,011 | 0,032 | 0,014 | 0,060              |               |
| 1         | 0,004 | 0,011 | 0,032 | 0,014 | 0,060              |               | 3         | 0,004 | 0,011 | 0,032 | 0,014 | 0,060              |               |
| 2         | 0,004 | 0,011 | 0,032 | 0,014 | 0,060              |               | 4         | 0,004 | 0,011 | 0,032 | 0,014 | 0,060              |               |
| 3         | 0,004 | 0,011 | 0,032 | 0,014 | 0,060              |               | 13        | 0,004 | 0,027 | 0,160 | 0,014 | 0,205              | 0,409         |
| 13        | 0,004 | 0,027 | 0,128 | 0,028 | 0,187              | 0,187         | 14        | 0,004 | 0,027 | 0,160 | 0,014 | 0,205              |               |
| $SI_w$    | 14    | 30    | 66    | 6     | 116                | 1             | $SI_w$    | 14    | 30    | 66    | 6     | 116                | 1             |
| $Sw$      | 1     | 2     | 3     | 3     | 9                  |               | $Sw$      | 1     | 2     | 3     | 3     | 9                  |               |
| $F_w$     | 14    | 15    | 22    | 2     | 53                 |               | $F_w$     | 14    | 15    | 22    | 2     | 53                 |               |
| $VI_{SC}$ | 14    | 45    | 198   | 24    | <b>ISC=281</b>     |               | $VI_{SC}$ | 14    | 45    | 198   | 24    | <b>ISC=281</b>     |               |

Графлар (1-расм) учун  $MIRC(P_0^t - P_0 \cup C_3(G))$  матрицаси мисол тариқасида 2-жадвалда келтирилган. Графлар диаграммаларида учларнинг ҳажми графнинг умумий мураккаблигидаги учларнинг ҳиссасига мослигини кўриш мумкин.

Матрицаларнинг таҳлили шуни кўрсатадики, таҳлил қилинаётган графлар берилган  $B = \langle P_0, P_1, P_2, P_3 \rangle$  базисидаги ҳам индекс, ҳам вектор-индекс бир хил қийматга эга ва уларнинг орасидаги фарк  $irc(f^t(c))$  ҳиссаларнинг вектор-индекслари киёсланганидагина акс этади.

**Мураккабликда граф ҳиссасини инobatга олган ҳолда фрагментларнинг жойлашувидаги ўхшашликни таҳлил қилиш усули**

$G$  таркибидаги фрагментларни жойлашуви ўхшашлигини ҳисоблаш натижаси деб таҳлил қилинаётган фрагмент ёки синфларнинг жуфтлик масофалари матрицаси ёки графи, эквивалент жойлашган фрагментлар, яъни  $MIRC(F^t - B(G))$  матрица сатрининг бир хил қийматли фрагментлари тушунилади.

Фрагментлар синфларининг жойлашуви ўхшашлигини иерархик таҳлил қилиш қуйидагиларни ўз ичига олади:

1.  $(irc(f'(c)))$  нисбий ёки  $iac(f'(c))$  мутлак ҳиссаларни индекси фарқини ҳисоблаш асосида фрагментлар орасидаги жуфт масофани аниқлаш;

2. Евклид метрикаси асосида элементларнинг сони, яъни  $MIRC(F' - B(G))$  матрицаси сатрлари

қийматлари билан кенгайдиган векторлар (нисбий ва мутлак) ҳиссалари орасидаги масофани аниқлаш.

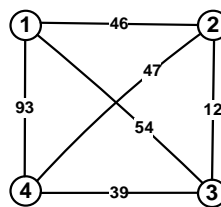
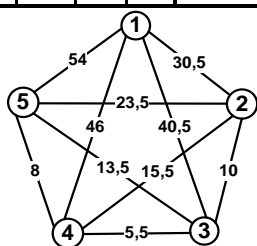
$G_1, G_2$  (1-расм) графларнинг умумий

мураккаблигига учлар синфларининг мутлак ҳиссалари 3-жадвалда келтирилган. 2-расмда уч синфларининг ўхшашлик графи келтирилган.

3-жадвал.

Мураккабликка уч синфларининг мутлак ҳиссалари матрицаси

| $G_1$ учун синфлар | Учлар рақами | $P_0$ | $P_1$ | $P_2$ | $C_3$ | $iac(f'(c))$ | $G_2$ учун синфлар | Учлар рақами | $P_0$ | $P_1$ | $P_2$ | $C_3$ | $iac(f'(c))$ |
|--------------------|--------------|-------|-------|-------|-------|--------------|--------------------|--------------|-------|-------|-------|-------|--------------|
| 1                  | 5,6,7,8      | 4     | 6     | 12    | 0     | 22           | 1                  | 5,6,7,8      | 4     | 6     | 12    | 0     | 22           |
| 2                  | 13           | 1     | 7.5   | 36    | 8     | 52.5         | 2                  | 9,10,11,12   | 4     | 12    | 36    | 16    | 68           |
| 3                  | 14           | 1     | 7.5   | 54    | 0     | 62.5         | 3                  | 1,2,3,4      | 4     | 12    | 60    | 0     | 76           |
| 4                  | 1,2,3,4      | 4     | 12    | 36    | 16    | 68           | 4                  | 13,14        | 2     | 15    | 90    | 8     | 115          |
| 5                  | 9,10,11,12   | 4     | 12    | 60    | 0     | 76           |                    |              |       |       |       |       |              |



2-расм.  $G_1$  ва  $G_2$  учун уч синфлари орасидаги жуфт масофа графи

Ушбу усул илк бора ТД кенгаювчи базисларда масофани ўзгартирувчи графикларни қуриш ва таҳлил қилиш асосида фрагментларнинг (фрагментлар синфини, фрагментларни жойлашув орбиталарини) жойлашуви ўхшашликларини ўзгариш тенденцияларининг таҳлилинини ўтказиш имконини беради. Бу эса таҳлил қилинаётган графлар изоморф бўлмаганида лекин эквивалент жойлашган фрагментлар ва фрагментлар синфи ҳиссалари қиймати мос келганда бир хил сонга эгаллиги билан жуда зарур ҳисобланади.

Графларнинг ўхшашлигини таҳлил қилишда ҳар бир граф жуфти учун умумий фрагментнинг максимал қийматини ҳисоблашга асосланиб тизим ости ёндашувни қўллаш орқали илк бора тадқиқотчини кизиқтираётган фрагментларнинг (учлар, белгиланган узунликдаги занжирлар, даврлар, дарактлар ва бошқаларнинг) жойлашуви ўхшашлигини инobatга олган ҳолда графларнинг ўхшашлигини таҳлил қилиш имконини беради.

**Фрагментларнинг шартли ҳиссалари матрицаси асосида графларнинг ўхшашлигини иерархик таҳлил қилиш усули**

$$D(G_1, G_2) = |V(F' \subseteq B(G_1))| + |E(F' \subseteq B(G_1))| + |V(F' \subseteq B(G_2))| + |E(F' \subseteq B(G_2))| - 2|V(mcf(F' \subseteq B(G_1), F' \subseteq B(G_2)))|,$$

ёки ўхшашлик индекси

$$MSI(G_1, G_2) = \frac{(|V(mcf(F' \subseteq B(G_1), F' \subseteq B(G_2)))| + |E(mcf(F' \subseteq B(G_1), F' \subseteq B(G_2)))|)^2}{(|V(F' \subseteq B(G_1))| + |E(F' \subseteq B(G_1))|) \times (|V(F' \subseteq B(G_2))| + |E(F' \subseteq B(G_2))|)}.$$

Граф тўпламлари ўхшашлигини ҳисоблаш натижалари сифатида графлар орасидаги жуфт масофалар матрицасини ёки таҳлил қилинаётган графлар учун ТД

$MIRC(F' - B(G))$  матрицаларини қўллаш орқали қуйидаги икки йўналишда кетма кет натижаларни аниқлаштириш билан графлар ўхшашлигини иерархик таҳлил қилиш мумкин:

1.  $(ISC)$  индекси,  $(V\_ISC)$  вектор-индекси,  $MIRC(F' - B(G))$  матрицаси;

2.  $irc(f')$ ,  $irc(f'(c))$ ,  $irc(f'_i)$  ҳиссаларнинг вектор индекси, матрица  $MIRC(F' - B(G))$  матрицаси.

1-йўналиш бўйича графларнинг жуфт ўхшашлик қиймати қуйидагилар орқали аниқланади:

- индекслар учун уларнинг қиймати мутаносиблик модулини ҳисоблаш асосида;

- вектор-индекслар учун Евклид метрикасини қўллаш орқали графлар орасидаги масофани ҳисоблаш асосида;

- $F' \subseteq B(G)$  турдаги граф-модделлар учун уларнинг УМФ асосида ва граф моделларнинг умумий максимал фрагментини ( $mcf$ ) аниқлаш асосида  $D$  масофа қийматини ҳисоблаш асосида, яъни

базисида кенгаювчи графларнинг нисбий ўхшашлик индекслари графикдаги ўзгарувчи ўхшашлик тенденцияларини тадқиқ қилишни тушуниш мумкин.

Агар  $P^{Sc}$  графнинг барча боғланган граф ости занжирларини ифодаласа, граф-моделларнинг унинг стратификация тизимидаги ҳар бир  $mcf$  жуфт учун ҳисобланади, масалан:

$$P^1_w \subseteq P_w \rightarrow P^{Is}_w \subseteq P_w \rightarrow P^{Is}_w \subseteq P^S_w \rightarrow P^{Is}_w \subseteq P^S_w \rightarrow P^{Is}_w \subseteq P^S_w$$

графларнинг ўхшашлик ўзгаришлари тенденциясини яна учта таянч моделнинг стратификация йўналиши бўйича тадқиқ қилиш имкониятига олиб келади: (1) ТД базисларини монотон кенгайтиши; (2) фрагментлар турларининг мураккаблик индекси қиймати бўйича монотон кенгайтиши; (3) графнинг ҳам базислари ҳам фрагмент турлари бўйича кенгайтиши.

Қуйидаги процедура *графнинг нисбий ўхшашлиги* бўйича  $B$  базисини ошириш мураккаблиги индексларининг монотон қийматига таъсирини ўрганиш учун қўлланилади:

1. Таҳлил қилинаётган  $B$  базисда, яъни охириги элементларни  $(k-1), (k-2), \dots, 0$  тушуриб қолиш орқали ҳосил бўлган базисда  $1, 2, \dots, k$  компонентидан таркиб топган, базислар учун  $SM_i (i = 1, \dots, k)$  графлар жуфт ўхшашлик (масофа) матрицаси ҳисобланади.

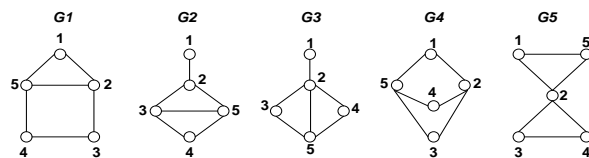
2. Ҳар бир граф учун ҳар бир  $SM_i$  да бошқа графларга  $av_{ij}$  ўхшашликнинг ўрта қиймати мавжуд, бу ерда,  $j$  – граф тартиб рақами. Ўртача қийматга ўтказиш ушбу  $G_j$  графдаги ўхшашлик индексларини  $\{G \setminus G_j\}$  тўпламдаги графлар билан қўшиб, олинган қийматни  $|\{G \setminus G_j\}|$  га бўлиш орқали амалга оширилади.

3.  $av_{ij}$  ўртача қийматга тенг мувофиқлаштирувчи коэффициент  $nk_i$  ҳисобланади (ўртача қийматга ўтказиш  $j$  индекси бўйича амалга оширилади).

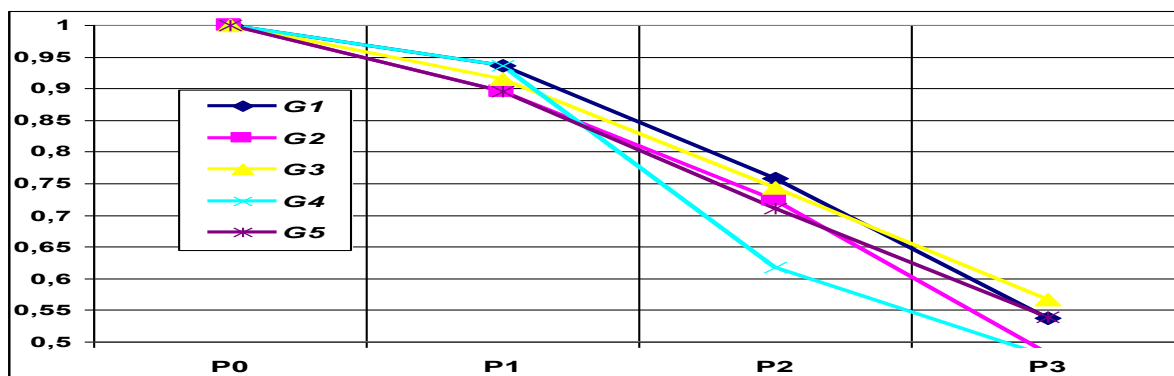
4.  $irs_{ij} = av_{ij} / nk_i$ ; узунлигида  $G_j$  графнинг нисбий ўхшашлиги ҳисобланади.

5. Ҳар бир тадқиқ қилинаётган граф учун базиснинг узунлигига нисбатан ўхшашликнинг қийматга тобе графиклар қурилади.

Нисбий ўхшашлик индекслари бир графнинг бошқа барча графлар учун битта графнинг ўхшашлигини таснифлайди, бу жуфт ўхшашлик индекслари қийматларининг базис узунлигига нисбатан ҳаракатини интеграл баҳолаш имконини беради. 4-расмда графлар учун (3-расм)  $P^{Is}_w \subseteq P_w$  кўринишдаги граф-моделларни қўллаш асосида ҳисобланган ўхшашлик қийматини ўртача қийматга келтирилган графиги келтирилган. Улар занжир-граф ости базисининг ўсишида ўзгариш тенденцияларини таҳлил қилиш имконини беради.



3-расм. 5 та уч ва бта қиррага эга графлар диаграммаси



4-расм. Графлар ўхшашлиги ўртача қийматининг ўзгариш графиги

ТД базисининг турига кўра 2 хил синф вазибаларини ажратиш мумкин: (1) агар

$\langle b_1, b_2, \dots, b_k \rangle = \langle \mathfrak{R}(G_1) \cup \mathfrak{R}(G_2) \cup \dots \cup \mathfrak{R}(G_n) \rangle$  бўлса, графларнинг *глобал ўхшашлиги*, бу ерда  $\mathfrak{R}(G_i)$  –

фрагментларнинг барча тўплам тўплам ости  $G_i$  тўпламлари; (2) агар

$\langle b_1, b_2, \dots, b_k \rangle < \langle \mathfrak{R}(G_1) \cup \mathfrak{R}(G_2) \cup \dots \cup \mathfrak{R}(G_n) \rangle$  бўлса, графларнинг *локал ўхшашлиги*.

ТД кенгаювчи базислар асосида глобал ўхшашликни аниқлаш вазибаларини ечиш аниқлигини таҳлил қилиш муаммосини ҳал этиш учун методология ва унинг компьютер таъминоти ишлаб чиқилади. Графларнинг ўхшашлигини таҳлил қилишнинг қуйи тузилмавий ёндашувидан фарқли равишда, тавсия этилган ёндашув икки базавий  $mcf$  моделни аниқлаш учун самарали

ҳисоблаш (ҳисоблаш мураккаблиги каторидан) алгоритмдан фойдаланилади.

**Хулоса**

Хулоса қилиб, таянч граф-моделлари тизим тузилмаларининг ўхшашлигини таҳлил қилиш ва тизим тузилмаларидаги толерантлик муносабатларининг ўхшашлигига асосланган табиатдаги эквивалентлик муносабатлар стратификация қилинган тизимини аниқлаш учун муаммолар синфларини шакллантириш имконини беради. Юқорида келтирилган моделлар ва ўхшашликларни таҳлил қилиш усуллари GMN ASISда ва MEI (TU) таълим жараёнида амалга оширилади.

*Фойдаланилган адабиётлар:*

[1] Lande D.B. “Basis of information flow integration”, Handbook, Engineering, 240 p, 2006.  
 [2] Usov A.V., Oborskiy G.A., Morozov Yu.A., Dubrov K.A., “Introduction to the optimization methods and theory of



technical systems”, Odessa: Astroprint, 496 p, 2005.

[3] Olifer V.G., Olifer N.A., “Computer networks 3<sup>rd</sup> edition”, Piter, 958 p, 2006.

[4] Saidov A., Mirboboyev M., Almetov Sh., Ganiyeva N., Boboqulov I., “Information systems bases of customs organizations”, 1<sup>st</sup> chapter, Tashkent, 421 p, 2016.

[5] Saidov A., Abdurakhmonov Z., “An automated information system with working customs cargo declarations”, Handbook, Tashkent, High military customs institution, 151 p, 2012.

[6] Rezer S.M., Prokofeva T.A., Goncharenko S.S., “International transport corridor: formulation problems and development”, M.: Viniti Ran, 200 p, 2010.

[7] Lukinskiy V.S., Lukinskiy V.V., Plastunyak I.A., Pletneva N.G., “Transportation in the logistics”, Handbook, 520 p, 2005.

[8] Date K., “Introduction to database”, M.Nauka, 352 p, 2010.

[9] United Nations Organization, “Statistics of international goods trade: concepts and definitions 2010”, New York, 2011.

[10] Dodokin Yu.V., Jebbelova I.a., Krishtafovich V.I., “Customs examination of goods”, Center – Academia, 272 p, 2013.

**Маликова Нодира Тургуновна**

Муҳаммад ал-Хоразмий номидаги Тошкент ахборот технологиялари университети

**Махматқулов Ғолибжон Холмунинович**

Қарши муҳандислик иқтисодий институти

Тел.: +998936968484

Эл. почта: [gmaxmatqulov11@mail.ru](mailto:gmaxmatqulov11@mail.ru)

**N.T.Malikova, G.X.Maxmatqulov**

### GRAF-MODEL OF PROFESSIONAL COMPATIBILITY SYSTEMS

This article provides a graphical model for fragmentation that allows you to identify the complexity of complex structured systems. The system of stratification of graph models, which allows to formulate and study a wide spectrum of new structures of structural similarity is considered. The proposed models allow for the analysis of similarity of systems and the development of sub-structure approach in the separation of new types of relationships in the graph models of systems.

**Keywords:** Advanced structured systems, models, graphs, fragments, matrices, multigraphs, semantic networks

УДК 654.154.4

**Мухитдинов А.А., Шукуров К.Э., Абдуллаева М.И., Маликова Н.Т.**

## АЛГОРИТМЫ И ПРОГРАММЫ ОБРАБОТКИ ВХОДНОГО ТРАФИКА НА ОСНОВАНИИ СТАТИСТИЧЕСКИХ ПОКАЗАТЕЛЕЙ РАБОТЫ ЦЕНТРОВ ОБРАБОТКИ ВЫЗОВОВ

Рассматриваются вопросы исследования моделей функционирования мультисервисных контакт центров, построения их имитационной модели в среде языка моделирования GPSS и вычисления вероятностных показателей эффективности процесса обработки вызовов.

**Калит сўзлар:** язык моделирования GPSS, мультисервисный контакт центр, имитационное моделирование, системы массового обслуживания.

### Введение

В результате моделирования работы контакт центров в работе [1] определены основные показатели качества и моделируемые параметры функционирования мультисервисных контакт центров (МКЦ). Ниже приводятся результаты разработки алгоритмов и программ определения качественных характеристик, в частности параметров и показателей эффективности функционирования МКЦ.

### Основная часть

При исследовании моделей информационных и управляющих систем используются следующие методы.

1. Аналитические методы – состоят в преобразовании записанных на языке математического анализа объектов и процессов (отношений), отображающих физические свойства исследуемой системы (в виде дифференциальных и интегральных уравнений).

2. Численные методы – основываются на построении конечной последовательности действий над числами, операции с математическими моделями заменяются операциями над числами.

3. Имитационный метод – элементы системы, так и процессы функционирования системы представляются в виде алгоритмов.

Имитационное моделирование – это мощный универсальный метод исследования систем, функционирование которых зависит от воздействия случайных факторов [2]. Применение вычислительных

средств и универсальных языков программирования позволяют получить хорошие результаты при изучении сложных объектов. Применение первых двух подходов часто требует многих ограничений, а иногда и дополнительных исследований.

Весьма эффективным и достаточно простым языком имитационного моделирования, выбранным для реализации алгоритмов анализа и обработки трафика центров обработки вызовов в данной работе, является язык GPSS (General Purpose Simulating System – общецелевая система моделирования)[3]. Его развитие началось в конце 50-х годов прошлого века. GPSS – это язык моделирования систем массового обслуживания (СМО).

Сообщения поступают в систему в случайные моменты времени, становятся в очередь и ожидают момента начала обслуживания. Сообщения будут называться транзактами. Транзакты являются движущимися элементами GPSS-модели. Работа GPSS модели заключается в перемещении транзакта. В самом начале моделирования в модели нет ни одного транзакта. В процессе моделирования транзакты входят в модель в определенные моменты времени и в соответствии с теми логическими требованиями, которые возникают в модели. Подобным же образом транзакты покидают систему в определенные моменты времени. В общем случае в модели может существовать большое число транзактов, однако в один момент времени движется только один транзакт.